

|           |                 |
|-----------|-----------------|
| 209381649 | דנה ניפדוב      |
| 321882649 | אווה פולוליאחוב |

# ספרתיות - רטוב 1

## סעיף 2.1

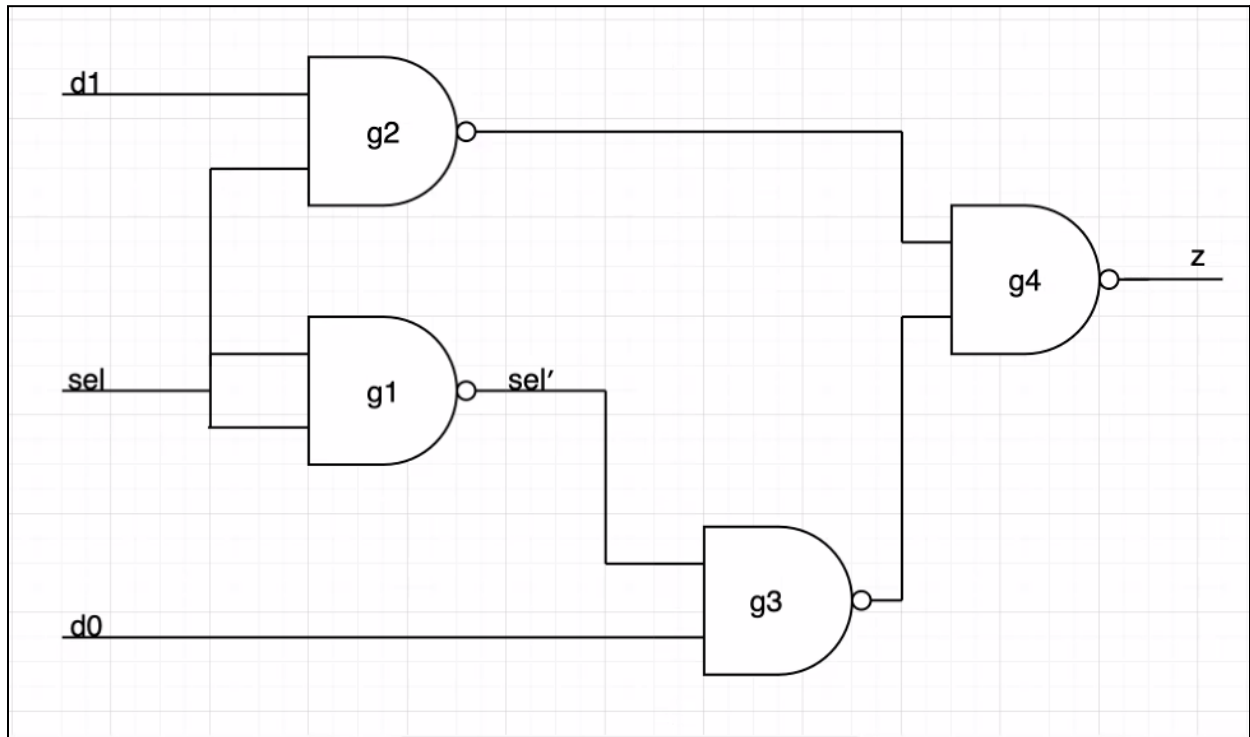
תחילה נציג טבלת אמת:

| $d_0$ | $d_1$ | $sel$ | $z$ |
|-------|-------|-------|-----|
| 0     | 0     | 0     | 0   |
| 0     | 0     | 1     | 0   |
| 0     | 1     | 0     | 0   |
| 0     | 1     | 1     | 1   |
| 1     | 0     | 0     | 1   |
| 1     | 0     | 1     | 0   |
| 1     | 1     | 0     | 1   |
| 1     | 1     | 1     | 1   |

כלומר, נקבל את הפונקציה הבאה:

$$z = d_0 \cdot sel' + d_1 \cdot sel$$

ולכן השרטוט שנקבל:



לפי ת.ר. 321882649, נקבל את טבלת ה-  $Tpd$  הבאה:

| Gate  | $Tpd_{LH}$ | $Tpd_{HL}$ |
|-------|------------|------------|
| NAND2 | 2          | 8          |
| OR2   | 1          | 2          |
| XNOR2 | 8          | 6          |

| path   | $d_0$ | $d_1$ | sel | $Tpd$            |
|--------|-------|-------|-----|------------------|
| d0g3g4 | 0->1  | 0     | 0   | 10               |
| d0g3g4 | 1->0  | 0     | 0   | 10               |
| d0g3g4 | 0->1  | 0     | 1   | Z doesn't change |
| d0g3g4 | 1->0  | 0     | 1   | Z doesn't change |

|                            |      |      |      |                  |
|----------------------------|------|------|------|------------------|
| <b>d0g3g4</b>              | 0->1 | 1    | 0    | 10               |
| <b>d0g3g4</b>              | 1->0 | 1    | 0    | 10               |
| <b>d0g3g4</b>              | 1->0 | 1    | 1    | Z doesn't change |
| <b>d0g3g4</b>              | 0->1 | 1    | 1    | Z doesn't change |
| <b>d1g2g4</b>              | 0    | 0->1 | 0    | Z doesn't change |
| <b>d1g2g4</b>              | 0    | 1->0 | 0    | Z doesn't change |
| <b>d1g2g4</b>              | 0    | 0->1 | 1    | 10               |
| <b>d1g2g4</b>              | 0    | 1->0 | 1    | 10               |
| <b>d1g2g4</b>              | 1    | 0->1 | 0    | Z doesn't change |
| <b>d1g2g4</b>              | 1    | 1->0 | 0    | Z doesn't change |
| <b>d1g2g4</b>              | 1    | 0->1 | 1    | 10               |
| <b>d1g2g4</b>              | 1    | 1->0 | 1    | 10               |
| <b>sel-g1g3g4<br/>g2g4</b> | 0    | 0    | 0->1 | Z doesn't change |
| <b>sel-g1g3g4<br/>g2g4</b> | 0    | 0    | 1->0 | Z doesn't change |
| <b>sel-g1g3g4<br/>g2g4</b> | 0    | 1    | 0->1 | Z doesn't change |
| <b>sel-g1g3g4<br/>g2g4</b> | 0    | 1    | 1->0 | Z doesn't change |
| <b>sel-g1g3g4<br/>g2g4</b> | 1    | 0    | 0->1 | 10               |
| <b>sel-g1g3g4<br/>g2g4</b> | 1    | 0    | 1->0 | 10               |
| <b>sel-g1g3g4<br/>g2g4</b> | 1    | 1    | 0->1 | Z doesn't change |
| <b>sel-g1g3g4<br/>g2g4</b> | 1    | 1    | 1->0 | Z doesn't change |

**טבלת השהיות נוכחית:**

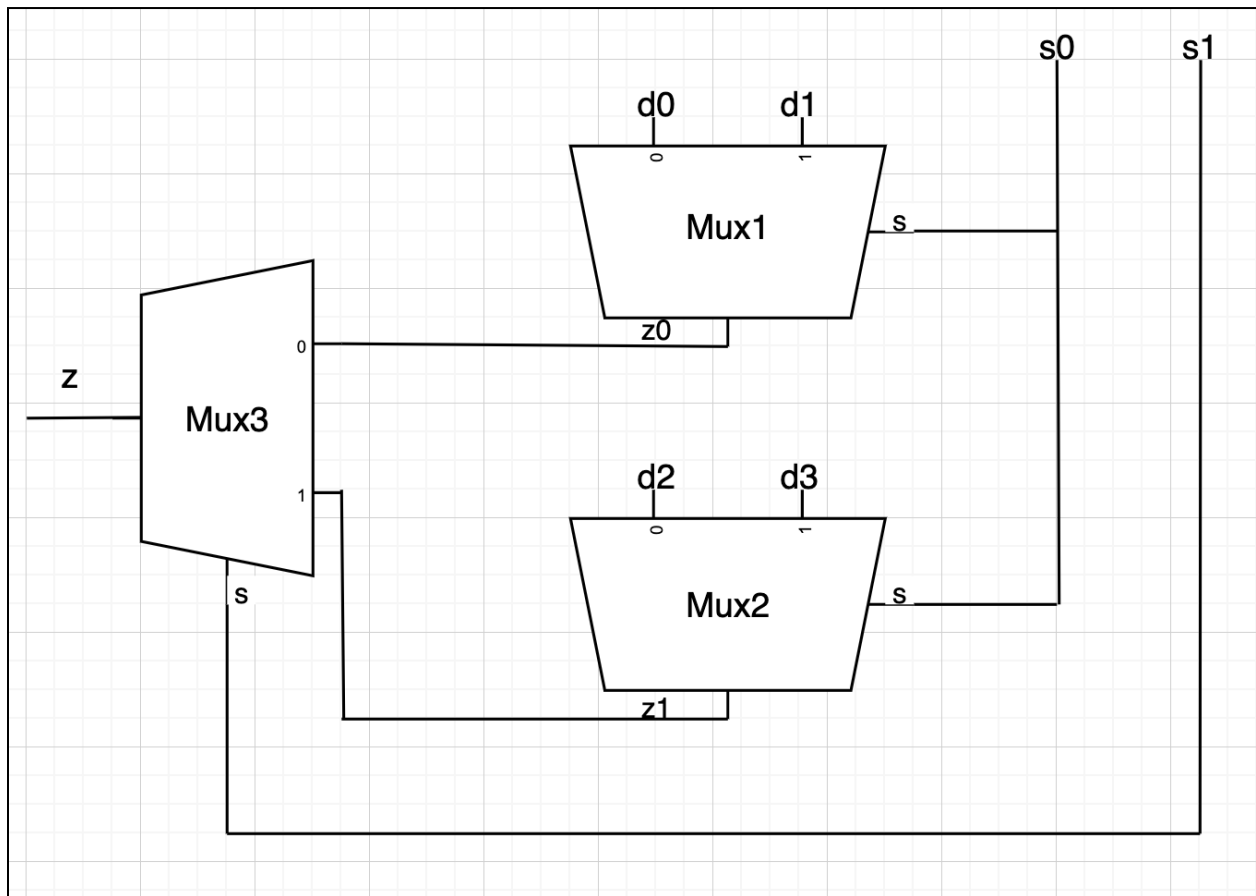
| Gate  | $Tpd_{LH}$ | $Tpd_{HL}$ |
|-------|------------|------------|
| NAND2 | 8          | 8          |
| OR2   | 2          | 2          |
| XNOR2 | 8          | 8          |

**סעיף 2.2**

נסמן תחת MUX את הלוגיקה שמימשנו בסעיף א'.

ביחס לנתוני ה  $Tpd$  העדכניים, מתקיים:  $Tpd_{max}(Mux) = 16$

הדיאגרמה של Mux4:

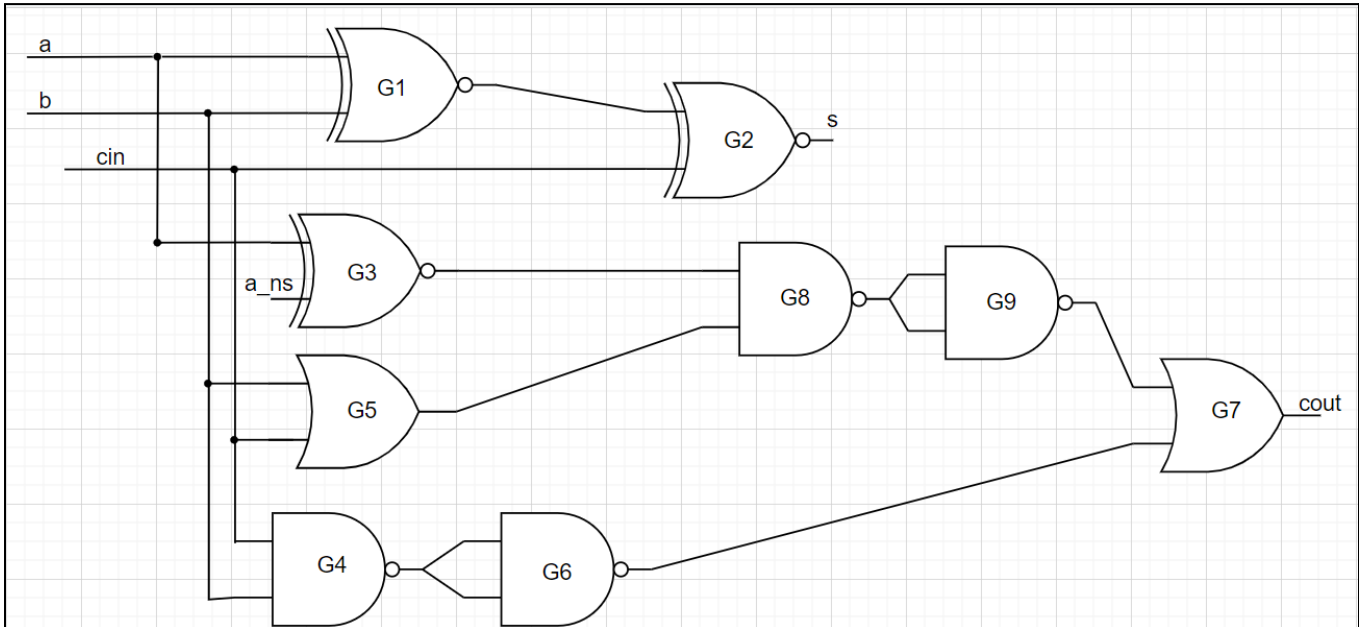


כעת נחשב זמן השהייה מקסימלי עבור שינוי יציב במערכת:

| path                                      | $d_0$ | $d_1$ | $d_2$ | $d_3$ | $sel_0$ | $sel_1$ | $Tpd_z$ |
|---|-------|-------|-------|-------|---------|---------|---------|
| $sel_0 \rightarrow Mux2 \rightarrow Mux3$ | 0     | 0     | 0     | 1→0   | 1       | 1       | 32      |
| $sel_0 \rightarrow Mux2 \rightarrow Mux3$ | 0     | 0     | 0     | 0→1   | 1       | 1       | 32      |

### סעיף 2.3

הדיאגרמה של FAS:



נחשב את ההשהיות המקסימליות מכל כניסה לכל יציאה:

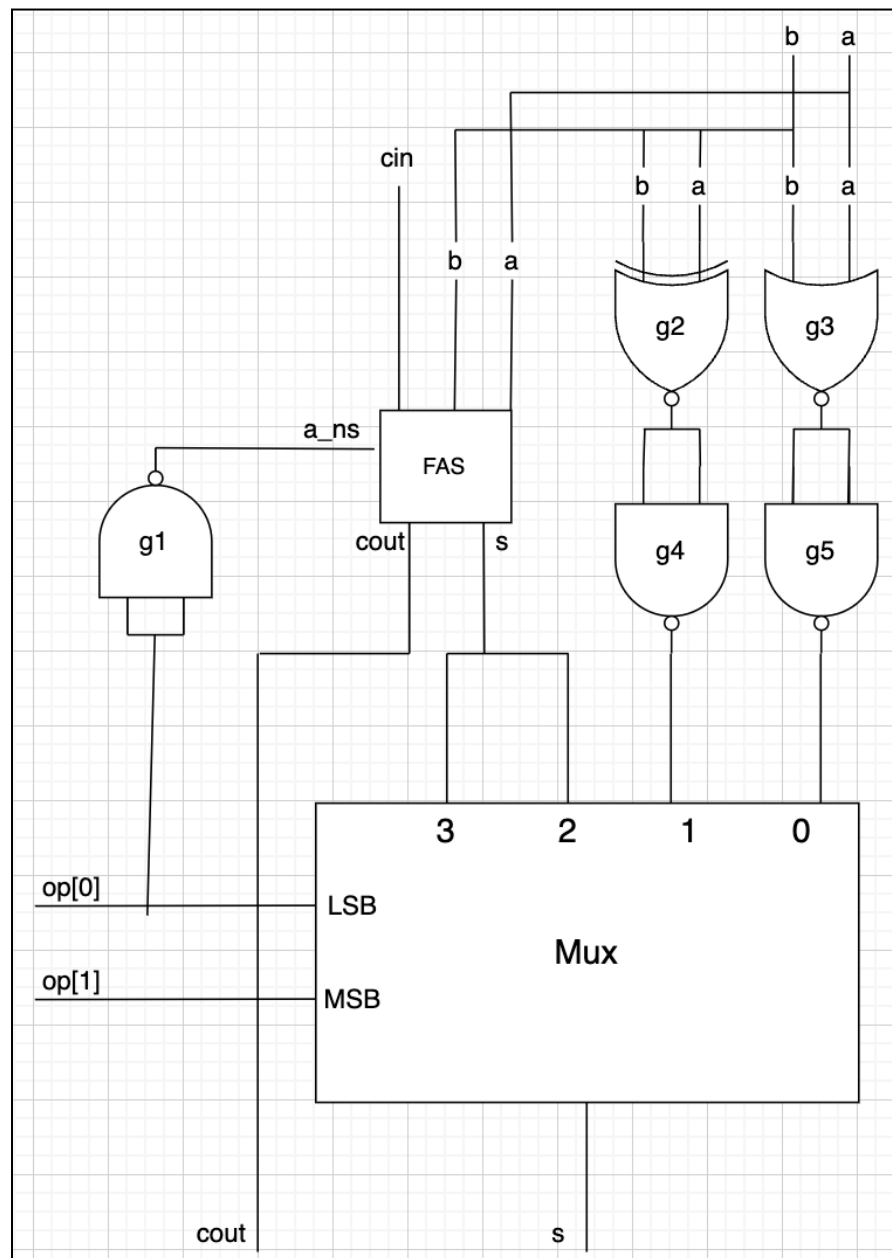
| path                 | a    | b    | cin  | a_ns | $Tpd_{cout}$ | $Tpd_s$ |
|----------------------|------|------|------|------|--------------|---------|
| a->G3->G8->G9->G7    | 1->0 | 1    | 0    | 1    | 26           | 16      |
| a->G3->G8->G9->G7    | 0->1 | 1    | 0    | 1    | 26           | 16      |
| b->G5->G8->G9->G7    | 0    | 1->0 | 0    | 0    | 20           | -       |
| b->G5->G8->G9->G7    | 0    | 0->1 | 0    | 0    | 20           | -       |
| cin->G5->G8->G9->G7  | 0    | 0    | 1->0 | 0    | 20           | -       |
| cin->G5->G8->G9->G7  | 0    | 0    | 0->1 | 0    | 20           | -       |
| a_ns->G3->G8->G9->G7 | 1    | 1    | 0    | 1->0 | 26           | 16      |
| a_ns->G3->G8->G9->G7 | 1    | 1    | 0    | 0->1 | 26           | 16      |

ה-  $Tpd$  המקסימלי הינו:

$$Tpd_{max}(FAS) = 26$$

## סעיף 2.4

הדיאגרמה של ALU:



ניעזר ברכיב ה Mux וברכיב ה FAS שמימשנו בסעיפים 2.2 2.3.

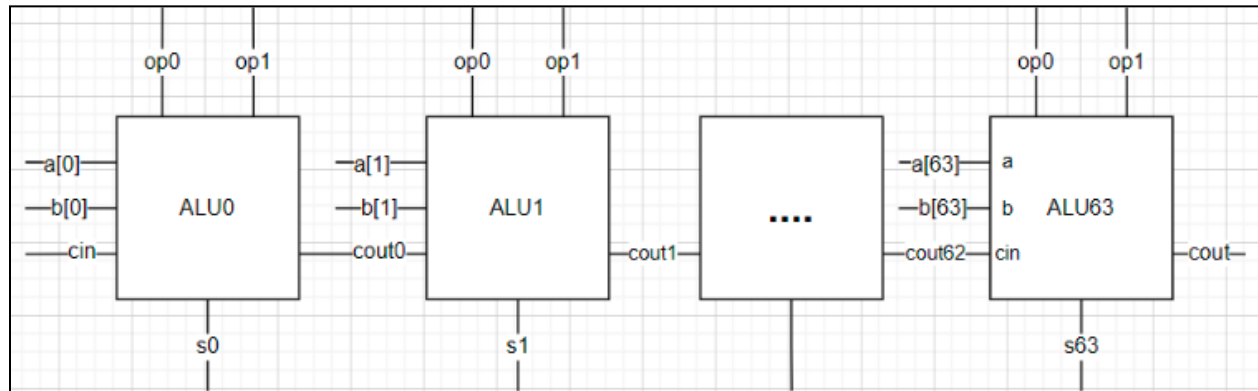
| path             | a    | b    | cin  | op[0] | op[1] | $Tpd_s$ | $Tpd_{cout}$ |
|------------------|------|------|------|-------|-------|---------|--------------|
| a->FAS->Mux      | 1->0 | 1    | 0    | 1     | 0     | 58      | 32           |
| a->FAS->Mux      | 0->1 | 1    | 0    | 1     | 0     | 58      | 32           |
| b->FAS->Mux      | 1    | 1->0 | 0    | 1     | 0     | 58      | 32           |
| b->FAS->Mux      | 1    | 0->1 | 0    | 1     | 0     | 58      | 32           |
| cin->FAS->Mux    | 0    | 0    | 1->0 | 0     | 0     | 58      | 32           |
| cin->FAS->Mux    | 0    | 0    | 0->1 | 0     | 0     | 58      | 32           |
| op[0]->NAND->FAS | 0    | 1    | 0    | 1->0  | 0     | 34      | 34           |
| op[0]->NAND->FAS | 0    | 1    | 0    | 0->1  | 0     | 34      | 34           |
| op[1]->Mux       | 1    | 0    | 1    | 1     | 1->0  | 16      | -            |
| op[1]->Mux       | 1    | 0    | 1    | 1     | 0->1  | 16      | -            |

ה-  $Tpd$  המקסימלי הינו:

$$Tpd_{max}(cout_{ALU}) = 34, Tpd_{max}(s_{ALU}) = 58$$



## סעיף 2.5



ניעזר ב 64 רכיבי ALU מצורת רכיב ה ALU שמימשנו בסעיף 2.4.

אלגוריתם החיבור:

לכל  $0 \leq i \leq 63$ :

את הביט  $i$  של הוקטורים  $b$ ,  $a$  נחבר בתור הכניסות של הקלטים בכל אחד מרכיבי ה ALU.

כעת, את ה  $cout_i$  ה  $i$  נחבר ל  $cin_{i+1}$ .

בעבור ה  $cin$  הראשון (במקום ה 0) נאתחל ל1.

בכל רכיבי ה ALU נבחר  $op = 11$ .

כלומר בכל פעם, הרכיב בוחר לבצע פעולת חיסור בין שני הקלטים באותו הרכיב.

במצב ההתחלתי, נחסר 63 פעמים 0-0 ותוצאת החיסור, כלומר ה  $cin$  של הרכיב הבא תהיה 0 ולא תשפיע כך שהתוצאה הסופית תהיה 0.

נתבונן במקרה בו נשנה  $1 \rightarrow 0$  :  $a[0]$ :

בהינתן השינוי, נקבל שינויים ב  $cout$  וגם ב  $s$  של כל הרכיבים. מהצורה 0->1.

נרצה לחשב את הפרש הזמנים בין קבלת שינוי ב  $cout$  ועד להתייצבות השינוי האחרון של  $s$ .

מחישוב  $tpd_{cout_{ALU}}$ , השינוי ב  $cout$  יובחן ברכיב ה  $ALU_1$ , לאחר  $34_{ns}$  ולכן נתחיל את החישוב מרגע זה שיוסמן

ב  $t_0$ .

כעבור  $18_{ns}$  יתקבל שינוי ב  $s_{FAS}$  של  $ALU_1$  ואז הכניסות 1,2 של  $Mux$  במשך של  $16_{ns}$   $tpd(Mux)$  כך

שכעבור  $34_{ns}$  סך הכל תשתנה היציאה  $s_1$ .

בנוסף נקבל שינוי ב  $cout_{FAS}$ , שזה שקול לזמן בו  $cout_{ALU_1}$  משתנה ומתחיל השינוי ב  $cin$  ברכיב הבא.

החל משינוי זה ב  $cin_{ALU_2}$  נקבל התייצבות של זמני התעדכנות היציאות, כך שהפרשי השינויים בין שינוי ב

$cout_{ALU} = tpd(cout_{FAS})$  לבין התעדכנות היציאה  $s_1 = tpd(ALU)$  הוא  $20_{ns}$ .

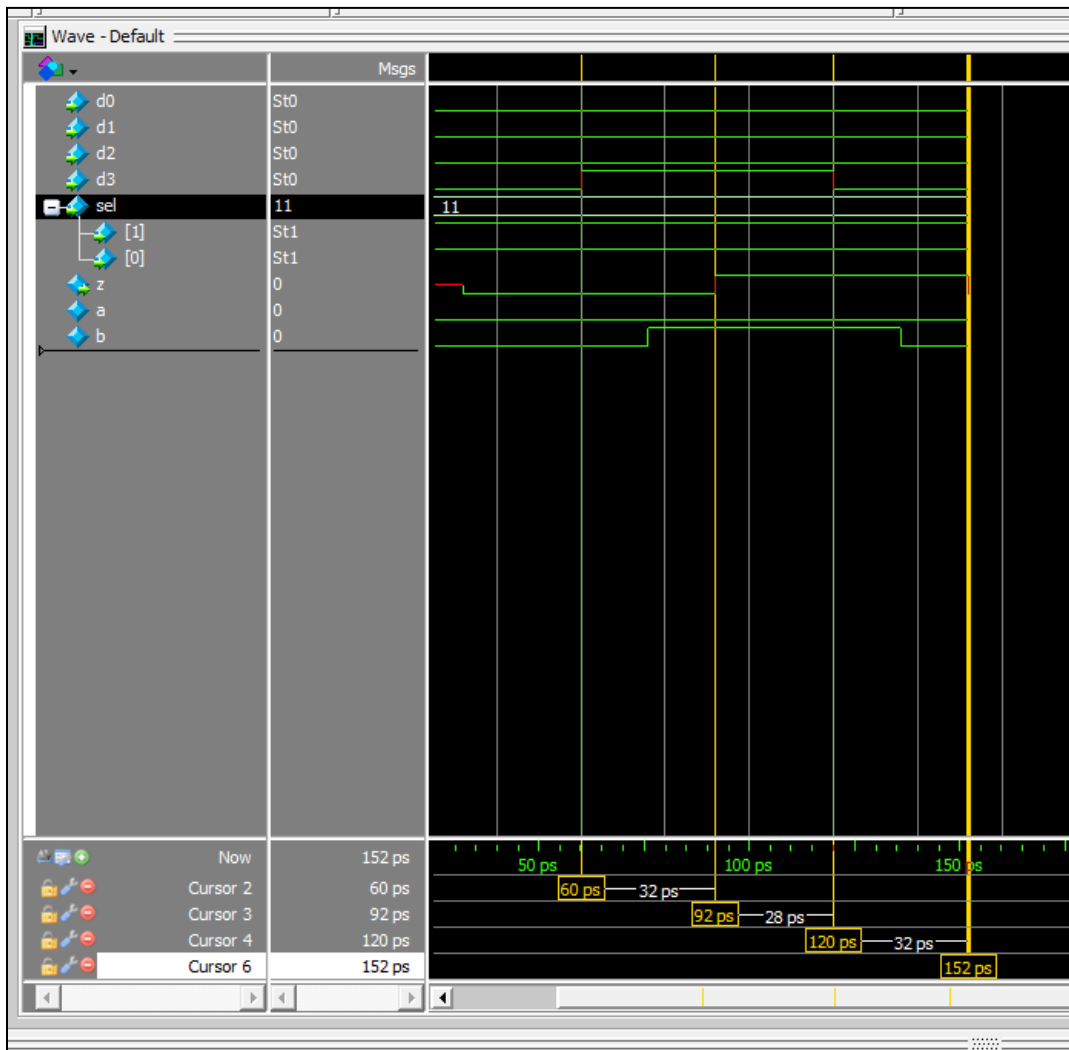
לכן סה"כ זמן :

$$updateS_0 + updateS_1FromCout_0update + updateTheRest = 48_{ns} + 18_{ns} + 62 \cdot 20_{ns}$$

## חלק רטוב

### סעיף 3.3

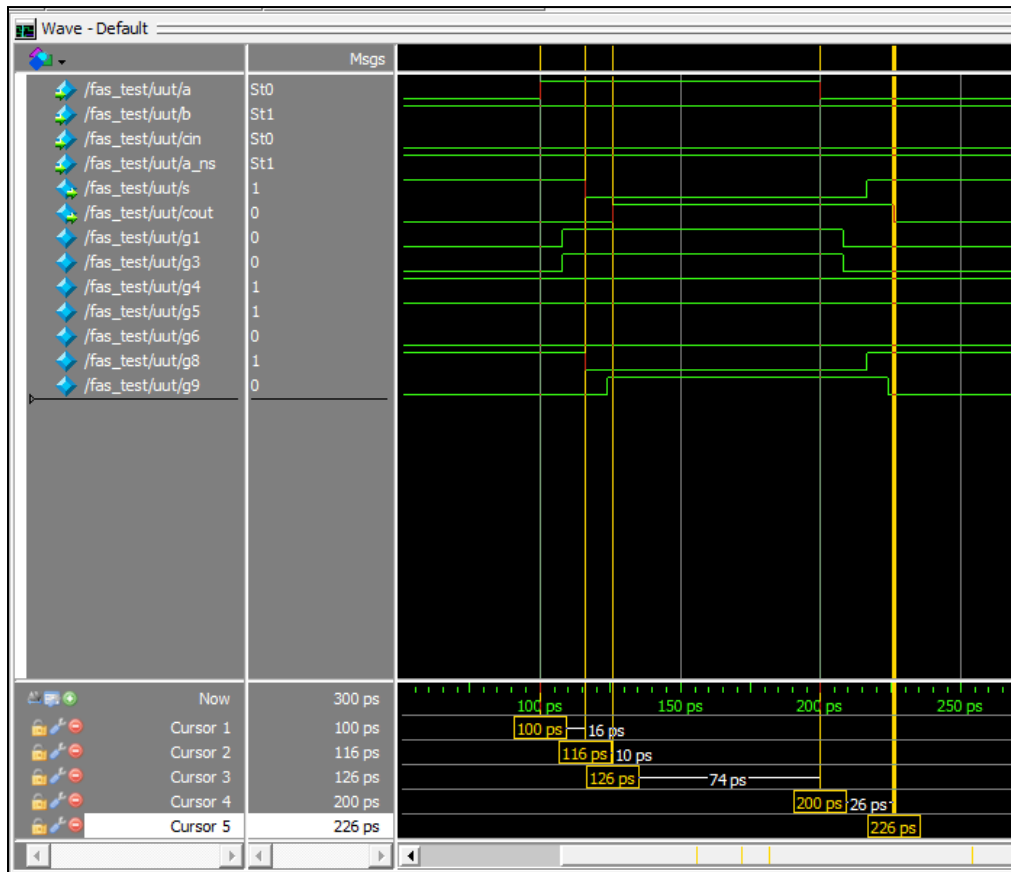
3.3. בקובץ mux4\_test.sv כתבו testbench עבור המודול mux4 שבניתם. מטרת ה-testbench היא לוודא נכונות לוגית של התכן שנבנה, וכן תאימות של ההשהיות בסימולציה לחישובים התאורטיים. יש לבדוק את התכן בשני המקרים שנבחרו בסעיף 2.2.



נבחין כי בתחילת הסימולציה הצבנו את הערכים  $d_3 = 0$ . בזמן  $t = 60_{ns}$  עשינו הצבה  $0 \rightarrow 1$  ל- $d_3$ .  
ואכן בזמן  $t = 92_{ns}$  נבחין בשינוי בפלט  $z: 0 \rightarrow 1$ . ולכן אכן מתקיים  $Tpd_{LH} = 92 - 60 = 32_{ns}$ .  
מאידך, נבחין כי בזמן  $t = 120_{ns}$  עשינו הצבה  $1 \rightarrow 0$  ל- $d_3$ . ואכן בזמן  $t = 152_{ns}$  נבחין בשינוי בפלט  $z: 1 \rightarrow 0$ . ולכן אכן מתקיים  $Tpd_{HL} = 152 - 120 = 32_{ns}$ .

### סעיף 3.5

3.5. בקובץ `fas_test.sv` כתבו `testbench` עבור המודול `fas` שבניתם. מטרת ה-`testbench` היא לוודא נכונות לוגית של התכן שנבנה, וכן תאימות של ההשהיות בסימולציה לחישובים התאורטיים. יש לבדוק את התכן בשנים מהמקרים שנבחרו בסעיף 2.3.



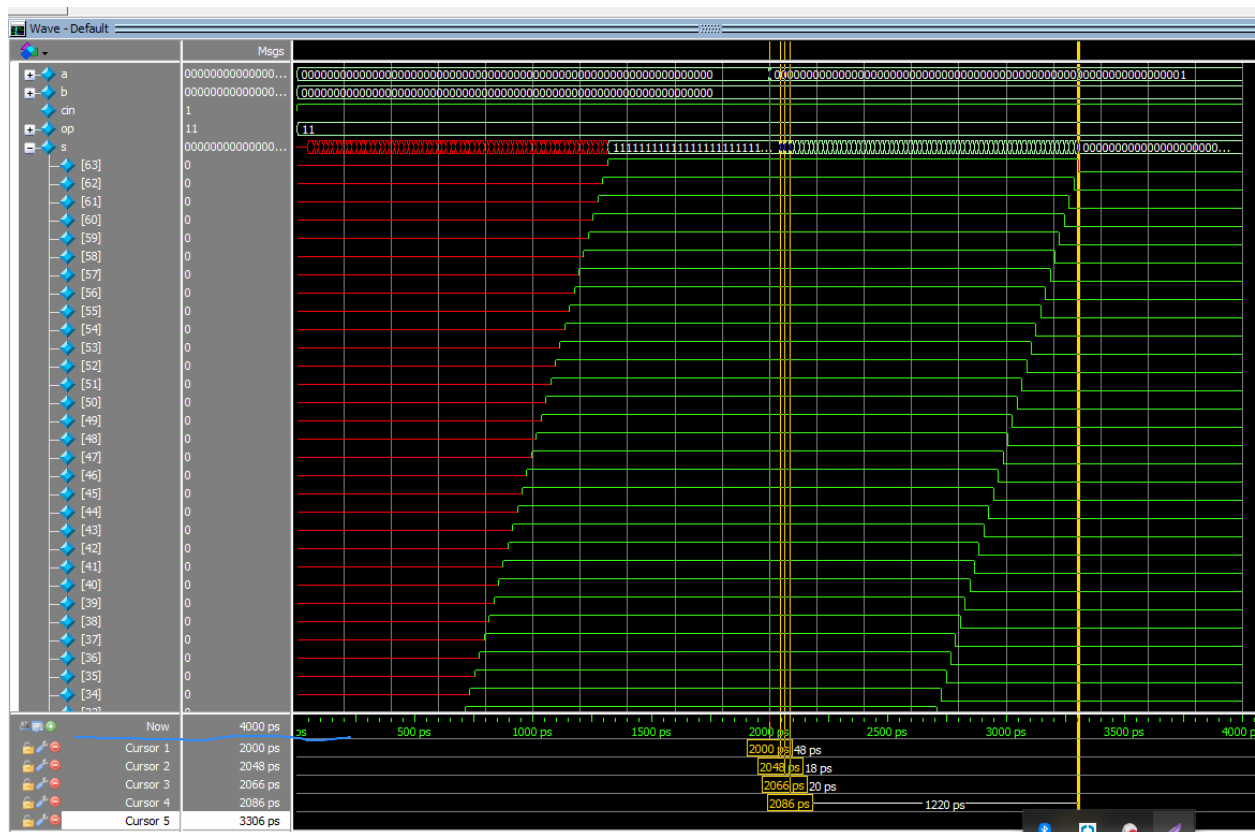
ניתן לראות כי ה- $Tpd_{cout}$  הינו 26 וה- $Tpd_s$  הינו 16 כפי שציפינו החלק התיאורטי.

### סעיף 3.8

3.8. בקובץ alu64bit\_test.sv כתבו testbench עבור המודול alu64bit שבניתם. מטרת ה-testbench היא לוודא נכונות לוגית של התכן שנבנה, וכן תאימות של ההשקיות בסימולציה לחישובים התאורטיים. יש לבדוק את התכן עבור שינוי הכניסות שגורם להשהיה הארוכה ביותר עד למוצא, שחושב בסעיף 2.5. על ה-testbench לבצע את רצף הפעולות הבא:

- הצבת כל הכניסות בערכים המתאימים לפני השינוי הגורם להשהיה הארוכה ביותר
- המתנה להתייצבות היציאה
- שינוי הכניסה הגורם להשהיה הארוכה ביותר
- המתנה להתייצבות היציאה

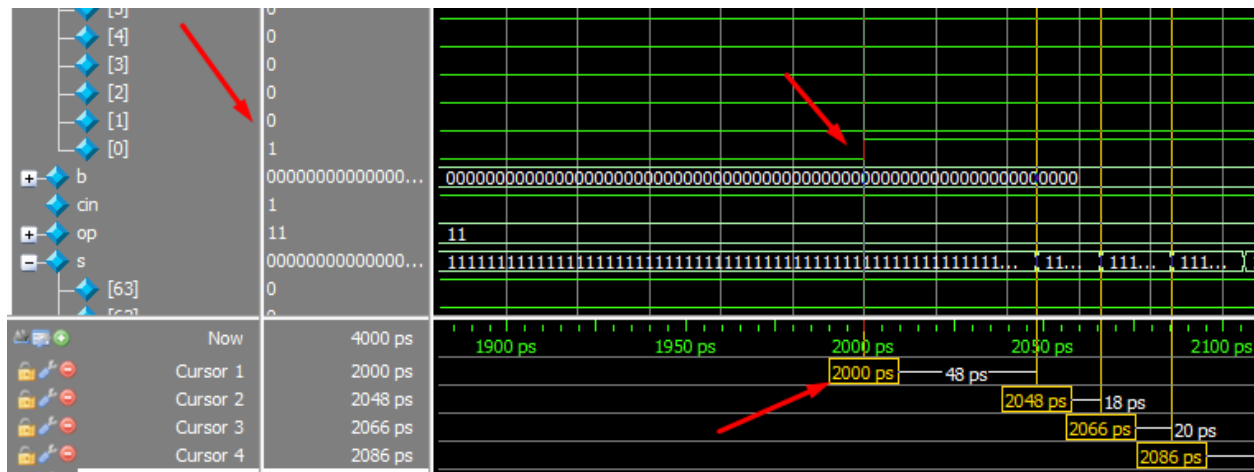
צרכו לחלק היבש רק את תוצאות הסימולציה (צילום מסך של דיאגרמת הגלים המתקבלת) והסבירו את התוצאות המתקבלות בדיאגרמה. הראו שההשקיות אכן מתאימות לחישוב התאורטי. שימו לב: התכן ייבדק בבדיקות אוטומטיות גם עבור מקרים נוספים, מעבר לאלו שאותם אתם נדרשים להגיש. יש לוודא שהתכן אכן עומד בדרישות גם במקרים נוספים (אך אין צורך להגיש בדיקות של מקרים נוספים).



נשים לב שהערכים ב-s מתייצבים ב-1,500ns. נשנה את הערך של a[0] ב-2,000ns באופן הבא:

$a[0]: 0 \rightarrow 1$

להלן השינוי של a[0] בסימולטור:



כעת נשים לב לשינוי בפעם הראשונה ב-s0.

השינוי מתרחש לאחר 48ps ששינוי את a[0], ואז אנחנו רואים שינוי ב-s[1] לאחר 18ps ולאחר מכן משך השינוי מתייצב ל-20ps עד סיום ההתייצבות שמסתיימת ב-3306ps.

